



Novos derivados pirazol-imidazolínicos com potencial ação anti-*Trypanosoma cruzi*

Pedro H.M. Fernandes (PG)^{1*}, Maurício S. dos Santos (PQ)¹, Ana Carolina Mazzochi (PG)¹, Mirian Claudia S. Pereira (PQ)², Edinaldo C. de Oliveira (PG)², Leonardo S. Lara (PQ)², Lorraine M. R. Orlando (PG)², Sarah C. Lanera (PG)², Thamyris P. de Souza (PG)², Nathália S. Figueiredo (PG)², Vitoria B. Paes (PG)².

¹ Universidade Federal de Itajubá (UNIFEI), Instituto de Física e Química (IFQ), Itajubá-MG, 37500-903
²Laboratório de Ultraestrutura Celular (LUC), Instituto Oswaldo Cruz, Fiocruz, Rio de Janeiro-RJ, 21040-900
*d2020009400@unifei.edu.br

RESUMO

A Doença de Chagas, causada pelo protozoário *Trypanosoma cruzi*, é um problema de saúde pública que afeta grande parte da América-latina e possui tratamentos quimioterápicos escassos. Neste trabalho, 13 derivados inéditos pirazol-imidazolínicos $\mathbf{1}(\mathbf{a}-\mathbf{m})$ foram sintetizados e avaliados quanto à ação anti-*T. cruzi*. O composto $\mathbf{1}\mathbf{k}$ apresentou alta atividade contra a forma amastigota ($\mathbf{IC}_{50} = 3.3 \pm 0.2 \,\mu\text{M}$) e um alto índice de seletividade (73,9). Ademais, mostrou baixo risco de cardiotoxicidade, elevada redução da carga parasitária em microtecidos cardíacos e alta eficácia na reversibilidade da infecção.

Palavras-chave: Doença de Chagas, pirazol, imidazolina, Trypanosoma cruzi

Introdução

A Doença de Chagas (DC) é uma parasitose causada pelo protozoário *Trypanosoma cruzi* que afeta em torno de 7 milhões de pessoas a nível global (1). A Organização Mundial da Saúde (OMS) classificou a DC como uma Doença Tropical Negligenciada (DTN) com regiões endêmicas em 21 países da América latina com ocorrências na Ásia, Austrália, Europa e América do Norte (2).

O protozoário no hospedeiro existe em duas formas evolutivas: tripomastigota, não replicante e extracelular, e amastigota, intracelular e replicante (3). Atualmente existem dois quimioterápicos utilizados para o tratamento da DC, o Benznidazol (Bz) e o Nirfutimox (Nif), porém ambos os fármacos possuem eficácia limitada no tratamento referente a fase crônica da doença, além de possuírem diversos efeitos colaterais (3). Logo, se torna necessária a investigação para a síntese de novos fármacos.

Nosso grupo de pesquisa tem investido na síntese de compostos que possuem o núcleo pirazol, para investigar a atividade contra formas do protozoário *T.cruzi* (4-6). Dando continuidade aos projetos do grupo, neste trabalho foram sintetizados 13 derivados para avaliação da atividade anti-*T.cruzi*.

Experimental

Para a obtenção dos produtos finais **1(a-m)** foi planejada uma rota sintética ilustrada no esquema 1. Primeiramente, cloridratos de arilhidrazina foram submetidos a uma reação ácido-base utilizando acetato de sódio e etanol como solvente, sob refluxo. Após, etoximetilenomalononitrila foi adicionado promovendo uma reação de condensação, seguida pela ciclização, formando os intermediários **2(a-m)**. No próximo passo ocorre uma desaminação aprótica utilizando nitrito de *t*-butila e tetra-hidrofurano sob refluxo. Para a obtenção dos produtos finais **1(a-m)** foi utilizado dissulfeto de carbono e etilenodiamina sob irradiação por micro-ondas (7).

Esquema 1: Rota sintética para a obtenção dos produtos 1(a-m).

$$\begin{array}{c} \bigoplus_{\mathbf{N} \in \mathbb{N}} \mathbb{N} \\ \mathbb{N} \\$$

 $\begin{array}{l} \textbf{1a} \colon R = 2,4 \text{-} \text{diCl}; \ R_1 = \text{NH}_2; \ \textbf{1b} \colon R = 3 \text{-} \text{F}; \ R_1 = \text{NH}_2; \ \textbf{1c} \colon R = 4 \text{-} \text{CH}_3; \ R_1 = \text{NH}_2; \ \textbf{1d} \colon R = 4 \text{-} \text{CH}_3; \ R_1 = \text{H}; \ \textbf{1e} \colon R = 3 \text{-} \text{CH}_4; \ R_1 = \text{NH}_2; \ \textbf{1f} \colon R = 4 \text{-} \text{CH}_3; \ R_1 = \text{NH}_2; \ \textbf{1g} \colon R = 3 \text{-} \text{CH}_3; \ R_1 = \text{NH}_2; \ \textbf{1h} \colon R = 3 \text{-} \text{CH}_3; \ R_1 = \text{NH}_2; \ \textbf{1j} \colon R = 4 \text{-} \text{CF}_3; \ R_1 = \text{NH}_2; \ \textbf{1j} \colon R = 4 \text{-} \text{CF}_3; \ R_1 = \text{NH}_2; \ \textbf{1k} \colon R = 4 \text{-} \text{CF}_3; \ R_1 = \text{H}; \ \textbf{1l} \colon R = 3,5 \text{-} \text{diCF}_3; \ R_1 = \text{NH}_2; \ \textbf{1m} \colon R = 3,5 \text{-} \text{diCF}_3; \ R_1 = \text{NH}_2; \ \textbf{1m} \colon R = 3,5 \text{-} \text{diCF}_3; \ R_1 = \text{NH}_2; \ \textbf{1m} \colon R = 3,5 \text{-} \text{diCF}_3; \ R_1 = \text{NH}_2; \ \textbf{1m} \colon R = 3,5 \text{-} \text{diCF}_3; \ R_1 = \text{NH}_2; \ \textbf{1m} \colon R = 3,5 \text{-} \text{diCF}_3; \ R_1 = \text{NH}_2; \ \textbf{1m} \colon R = 3,5 \text{-} \text{diCF}_3; \ R_1 = \text{NH}_2; \ \textbf{1m} \colon R = 3,5 \text{-} \text{diCF}_3; \ R_1 = \text{NH}_2; \ \textbf{1m} \colon R = 3,5 \text{-} \text{diCF}_3; \ R_1 = \text{NH}_2; \ \textbf{1m} \colon R = 3,5 \text{-} \text{diCF}_3; \ R_1 = \text{NH}_2; \ \textbf{1m} \colon R = 3,5 \text{-} \text{diCF}_3; \ R_1 = \text{NH}_2; \ \textbf{1m} \colon R = 3,5 \text{-} \text{diCF}_3; \ R_1 = \text{NH}_2; \ \textbf{1m} \colon R = 3,5 \text{-} \text{diCF}_3; \ R_1 = \text{NH}_2; \ \textbf{1m} \colon R = 3,5 \text{-} \text{diCF}_3; \ R_1 = \text{NH}_2; \ \textbf{1m} \colon R = 3,5 \text{-} \text{diCF}_3; \ R_1 = \text{NH}_2; \ \textbf{1m} \colon R = 3,5 \text{-} \text{diCF}_3; \ R_1 = \text{NH}_2; \ \textbf{1m} \colon R = 3,5 \text{-} \text{diCF}_3; \ R_1 = \text{NH}_2; \ \textbf{1m} \colon R = 3,5 \text{-} \text{diCF}_3; \ R_1 = \text{NH}_2; \ \textbf{1m} \colon R = 3,5 \text{-} \text{diCF}_3; \ R_1 = \text{NH}_2; \ \textbf{1m} \colon R = 3,5 \text{-} \text{diCF}_3; \ R_1 = \text{NH}_2; \ \textbf{1m} \colon R = 3,5 \text{-} \text{diCF}_3; \ R_1 = \text{NH}_2; \ \textbf{1m} \colon R = 3,5 \text{-} \text{diCF}_3; \ R_1 = \text{NH}_2; \ \textbf{1m} \colon R = 3,5 \text{-} \text{diCF}_3; \ R_1 = \text{NH}_2; \ \textbf{1m} \colon R = 3,5 \text{-} \text{diCF}_3; \ R_1 = \text{NH}_2; \ \textbf{1m} \colon R = 3,5 \text{-} \text{diCF}_3; \ R_1 = \text{NH}_2; \ \textbf{1m} \colon R = 3,5 \text{-} \text{diCF}_3; \ R_1 = \text{NH}_2; \ \textbf{1m} : \ R_1 = 3,5 \text{-} \text{diCF}_3; \ R_1 = \text{NH}_2; \ \textbf{1m} : \ R_1 = 3,5 \text{-} \text{diCF}_3; \ R_1 = \text{NH}_2; \ \textbf{1m} : \ R_1 = 3,5 \text{-} \text{diCF}_3; \ R_1 = \text{NH}_2; \ \textbf{1m} : \ R_1 = 3,5 \text{-} \text{diCF}_3; \$

i) acetato de sódio, etanol, 20 min, refluxo; ii) etoximetilenomalononitrila, 1h, refluxo; iii) THF, nitrito de *t*-butila, 2h, refluxo; iv) etilenodiamina, CS₂, irradiação MW (50 W), 20 min, v) etilenodiamina, CS₂, irradiação MW (70 W), 30 min.

Todos os intermediários foram caracterizados por Espectroscopia na Região do Infravermelho por Transformada de Fourier (FT-IR), e os produtos finais, além desta técnica, foram caracterizados por Ressonância Magnética Nuclear (RMN) e Espectrometria de Massas de Alta Resolução (HRMS).

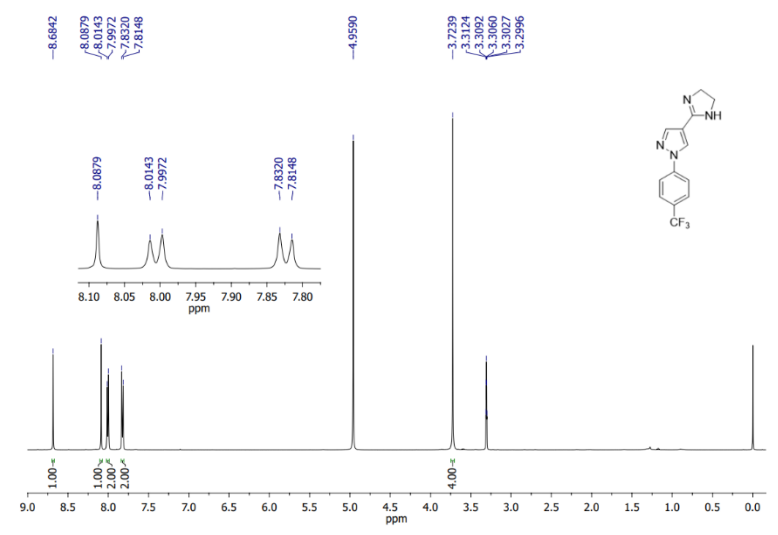
Resultados e Discussão

As análises de (FT-IR) dos produtos **1(a-m)** mostraram bandas típicas do anel imidazolina, em aproximadamente 1620 cm⁻¹ e na faixa de 2980-2840 cm⁻¹, referentes aos estiramentos das ligações C=N e Csp³-H, respectivamente. As bandas características de anéis aromáticos foram identificadas em 3115-3064 cm⁻¹ e 1583-1414 cm⁻¹, relativas aos estiramentos das ligações Csp²-H e C=C/C=N, nesta ordem.



Todos os produtos **1(a-m)** foram analisados por RMN de ¹H e de ¹³C. Os espectros estão condizentes com as estruturas propostas. Um exemplo de espectro de RMN de ¹H é mostrado na figura 1, relativo ao composto **1k**. Quanto às análises de HRMS, as razões massa/carga (*m/z*) experimentais para as moléculas protonadas, [M+H]⁺, foram muito próximas dos valores calculados, com erros variando de 0,72 a 3,62 ppm.

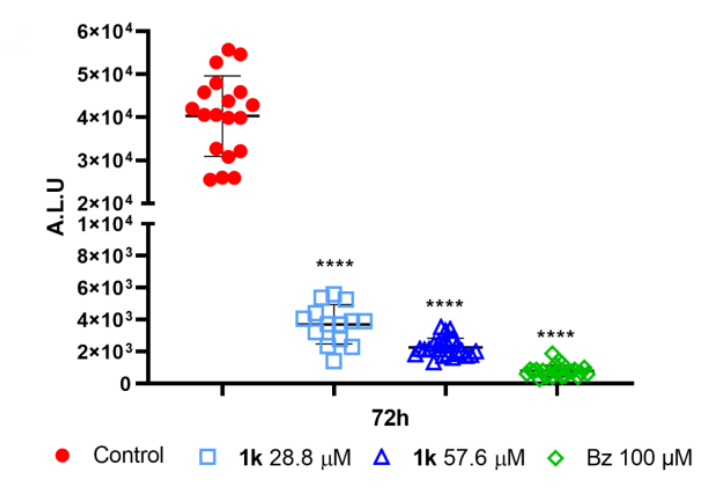
Figura 1: Espectro de RMN de ¹H (500 MHz, metanol-*d4*).



Com relação ao efeito antiparasitário, os derivados que mostraram melhores resultados contra a forma amastigota (intracelular) do protozoário foram: 1a (IC $_{50}$ = 40,8 ± 3,0 μM); 1d (IC $_{50}$ = 33,9 ± 0,8 μM); 1h (IC $_{50}$ = 26,1 ± 3,4 μM); 1k (IC $_{50}$ = 3,3 ± 0,2 μM); 1l (IC $_{50}$ = 27,7 ± 2,0 μM). Dentre os derivados citados, o 1k se mostrou promissor, possuindo IC $_{50}$ próximo ao do Bz (IC $_{50}$ = 2,2 ± 0,4 μM) e um alto índice de seletividade (IS): 73,9.

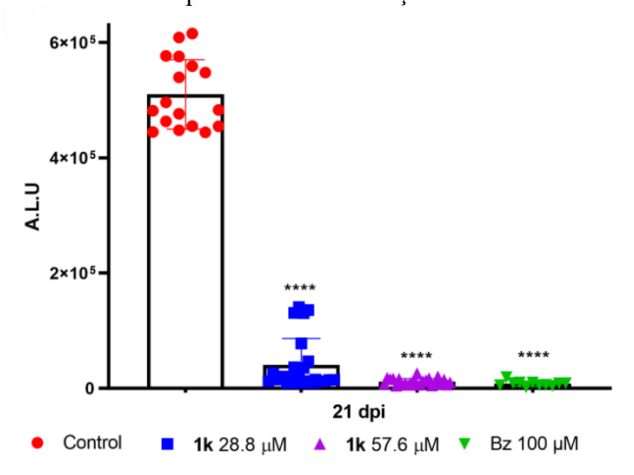
A eficácia antiparasitária do derivado 1k foi avaliada em microtecidos cardíacos tridimensionais (3D). O valor de CC_{50} foi $173,1\pm6,8\,\mu\text{M}$, o que indica baixo risco de cardiotoxicidade. A carga parasitária sofreu uma redução alta, alcançando 90% e 94% nas concentrações de 28,8 μM e 57,6 μM , respectivamente (Figura 2).

Figura 2: Eficácia do derivado **1k** em microtecidos cardíacos **3D** infectados por *T. cruzi*.



O derivado **1k** foi submetido ao teste de *washout*, que avalia a recrudescência parasitaria após a retirada do composto avaliado. Os resultados mostraram uma alta redução da carga parasitária, principalmente na concentração de 57,6 μM, cuja eficácia foi similar ao Bz (Figura 3).

Figura 3: Efeito de **1k** e Bz na reversibilidade da infecção. Perfil em monocamada celular após 21 dias de infecção.



Conclusões

Todos os produtos **1(a-m)** foram obtidos com rendimentos na faixa de 27-95%. O derivado **1k** mostrou potencial para prosseguir para testes *in vivo*, pois apresentou baixo IC₅₀ (3,3 \pm 0,2 μ M), alto IS (73,9), baixo perfil de toxicidade e alta redução da carga parasitária em microtecidos cardíacos, além de alta eficácia na reversibilidade da infecção.

Agradecimentos











Referências

- 1. Brasil, Territorialização e vulnerabilidade para Doença de Chagas. Boletim epidemiológico, 2022
- 2. Organização Mundial da Saúde. Disponível em: https://www.who.int/news-room/fact-sheets/detail/chagas-disease-(american-trypanosomiasis)
- 3. C. Oliveira; et al., *Experimental Parasitology* **2023**, 247, 108478.
- 4. T.P. Souza; et al., Molecules 2024 29, 3544-3568.
- 5. L.M.R. Orlando; et al., *Molecules*, **2021** 26, 6742-6770.
- 6. C.N. Pereira; et al., Current Organic Synthesis 2023, 20, 707-715
- 7. G.S. Rosa; et al. *Journal of Heterocyclic Chemistry* **2019**, 56, 1825-1830.